

Dvoufóliové experimenty a CR simulace laserového plazmatu.

Bc. Michal Šmíd
FJFI ČVUT
smidmic4@fjfi.cvut.cz

školitel:
Ing. Oldřich Renner, DrSc.
Fyzikální ústav AV ČR

Zimní škola FTTF
Mariánská, 12.1.2011

Obsah

- 1 Úvod
 - Motivace
- 2 Praktická část
 - Dvoufóliové interakční experimenty
 - Ukázka výsledků
 - Fotografie
- 3 Teoretická část
 - Simulace emise plazmatu
 - Budování atomového modelu
- 4 Závěr
 - Zhodnocení semestru
 - Plány do budoucna

Motivace

- Základní výzkum v oblasti chování a vlastností horkého hustého plazmatu. (stovky eV; $\approx 10^{-2} \text{ g cm}^{-3}$, 10^{20} cm^{-3})
- Sběr precizních spekter \rightarrow experimentální základ pro vývoj příslušných modelů plazmatu.

Dvoufóliové interakční experimenty

- Interakce vstřícných svazků plazmatu.
- Interakce plazmatu se stěnou
- Modelované situace se vyskytují v MCF, ICF i v astrofyzice.

Collisional – radiative (CR) simulace

- Podstatný nástroj pro vyhodnocení naměřených spekter

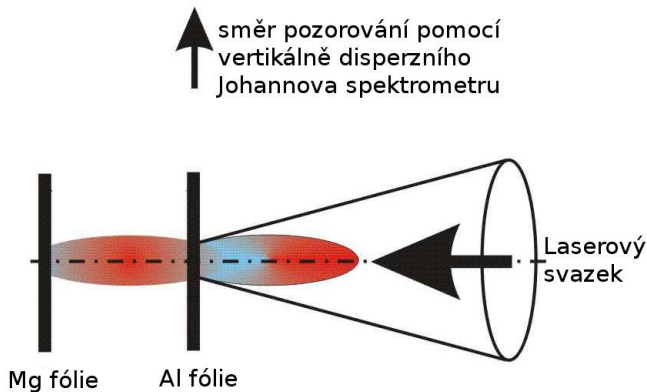
Dvoufóliové interakční experimenty

- Prováděny mj. v lednu 2009 a srpnu 2010 v laboratoři PALS.
- Laserový pulz o délce ≈ 250 ps , $\lambda = 1315$ nm nebo 438 nm a $E \approx 30 \div 120$ J
- Terčík: dvě fólie z různých kovů (Al, Mg, Ta, Ag) o tloušťkách $0.5 \div 2$ μm .

Hlavní diagnostika: VJS spektrometr [1]

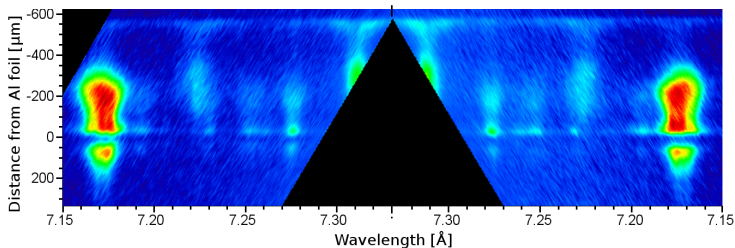
- RTG spektra v oblasti ≈ 7 Å (0.7 nm)
- Spektrální rozlišení $\frac{\Delta\lambda}{\lambda} \approx 6000$.
- Obvykle nastaven na detekci rezonanční čáry a jejich satelitů.
- Poskytuje prostorové rozlišení podél osy experimentu.

Dvoufóliové interakční experimenty - schéma



Prostorově rozlišená spektra

- Al fólie $\sim 0 \mu\text{m}$, Mg fólie $\sim 550 \mu\text{m}$.
- Al $\text{Ly}_\alpha \sim 7.17 \text{ \AA}$, Al J-satellite $\sim 7.28 \text{ \AA}$
- Mg $\text{He}_\epsilon \sim 7.23 \text{ \AA}$, Mg $\text{He}_\delta \sim 7.30 \text{ \AA}$



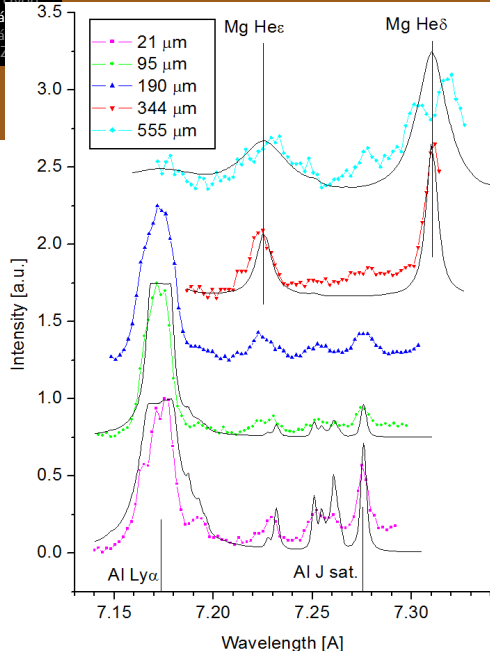
Vybraná spektra

Spektra fitována simulacemi
homogenního plazmatu kódem
PrismSpect.

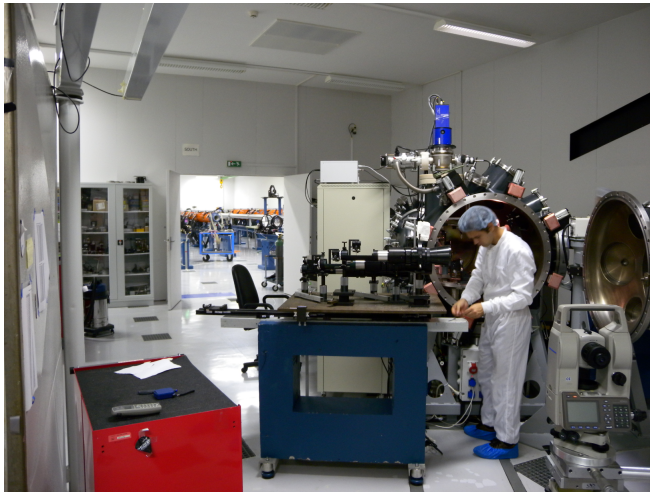
Parametry fitovaných spekter:

d	Mat.	T	ρ
[μm]		[eV]	[g/cm ³]
555	Mg	200	0.02
344	Mg	200	0.005
95	Al	480	0.01
21	Al	300	0.02

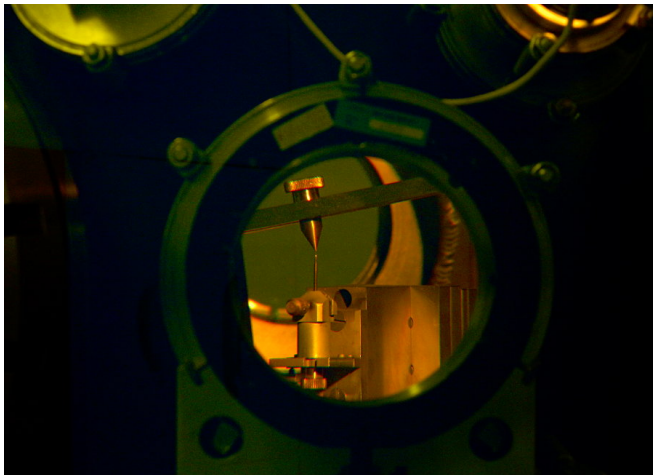
Prostřední profil: obtížné
srovnání se simulací, v důsledku
extrémních gradientů
parametrů plazmatu.



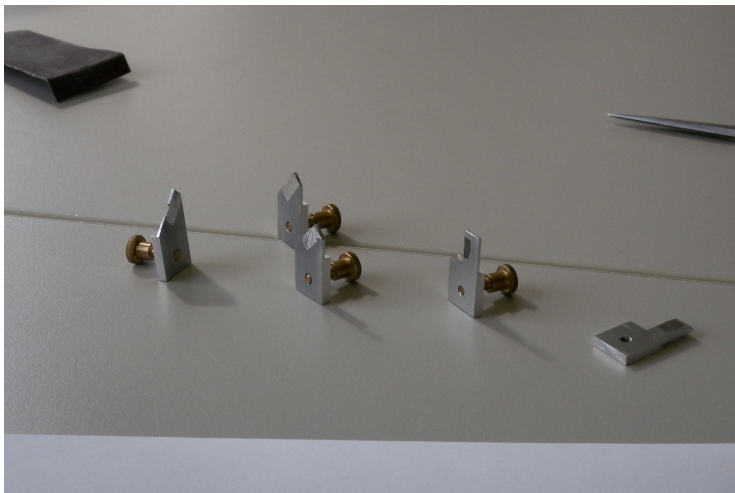
Fotografie - PALS



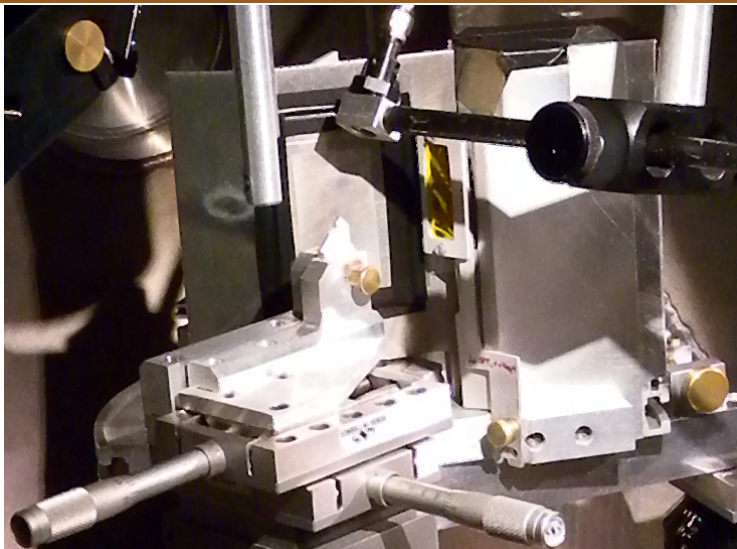
Fotografie - justáž spektrometru



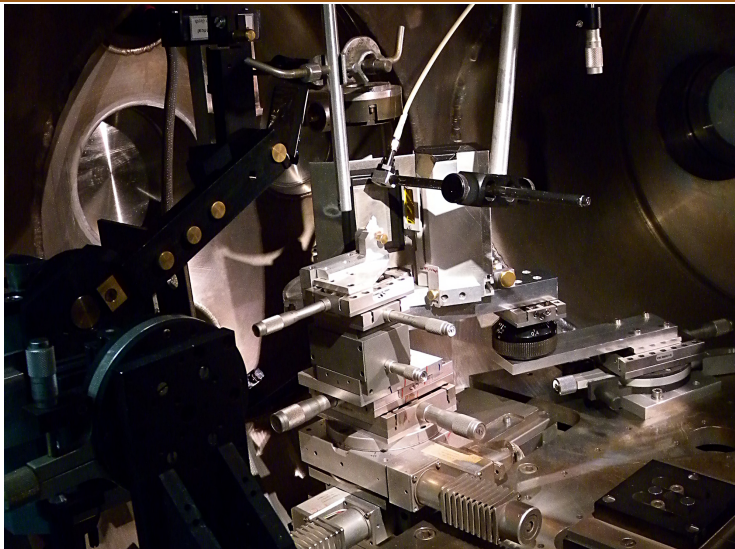
Fotografie - připravené terčičky



Fotografie - pohled do komory



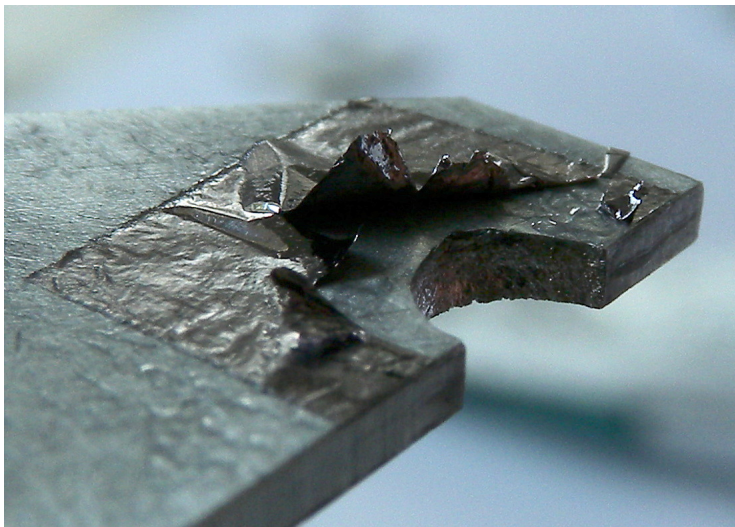
Fotografie - pohled do komory, celkový



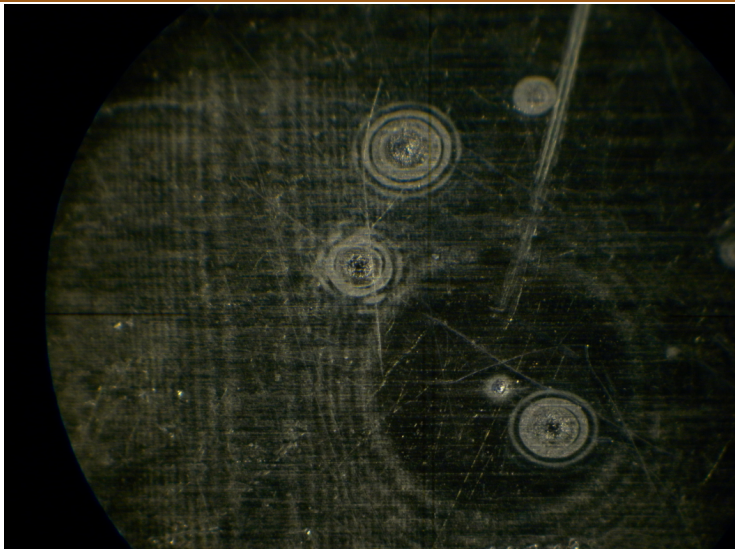
Fotografie - terčik po výstřelu (AI)



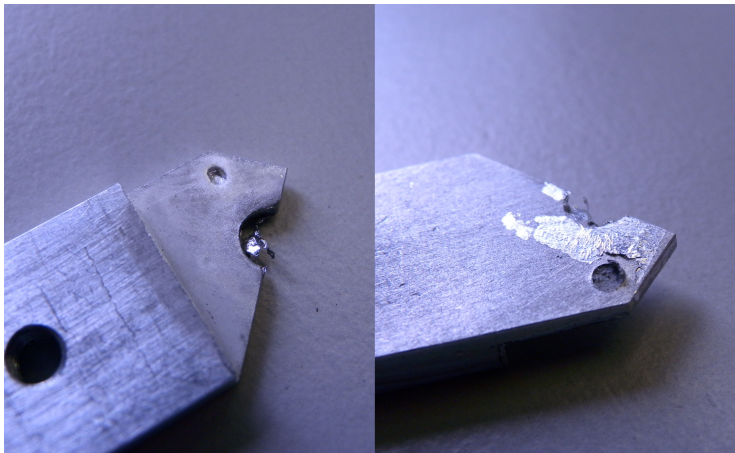
Fotografie - terčik po výstřelu (Ta)



Fotografie - identifikace ohniska



Fotografie - chyba

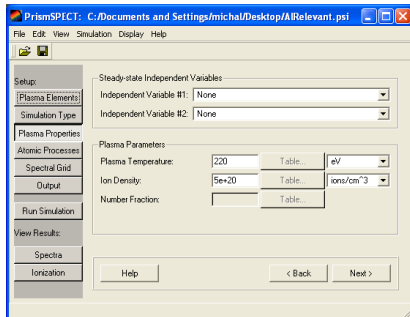


Simulace emise plazmatu

- Naměřená spektra jsou příliš komplikovaná pro přímé vyhodnocení.
- Nepřímé vyhodnocení: provede se simulace emise plazmatu s předpokládanými parametry, ta se poté srovná s naměřenými spektry.
- Druh vhodných simulací: Collisional radiative – vhodné pro plazma, které není ani v LTE (rovnovážné) ani v CE (řídké).
- Několik simulačních programů.

PrismSpect (Spect3D)

- Komereční CR-simulační program.
- User-friendly ovládání.
- Kvalitní atomová data.
- Nedostatečná dokumentace.
- Chybí některé možnosti nastavení.



Cretin [2]

- Distribuovaný ve formě zdrojového kódu.
- Ovládání přes příkazovou řádku, nastavení a parametry plazmatu se zadává v textovém souboru.
- Zabudovaná atomová data pro nás nejsou dostatečná.
- Širší možnosti konfigurace.

```
michal@michbuk: ~/bp/cretin/Al
michal@michbuk:~/bp/cretin/Al$ cat log
CRETIN - version v_02_00a (linux)

**** Starting execution -- Wed Jan  5 13:49:47 2011 ****

Reading atomic model alPrismColl.dat

-----
Here we go !!!

cycle #    0      time = 0.000E+00

Memory allocated =    3.7 Mbytes
cpu =    0.7 seconds

Timing statistics                cpu      %
-----
Generation      : 1.00E-02   1.4
Initialization  : 2.00E-02   2.8
Kinetics        : 2.00E-02   2.8
Spectrum calculation : 6.70E-01  93.1
Spectral opacities : 6.20E-01  86.1
Edits           : 4.00E-02   5.6

**** Finishing execution -- Wed Jan  5 13:49:59 2011 ****

michal@michbuk:~/bp/cretin/Al$
```

Plán

- Převezít atomová data z PrismSpectu a jiných zdrojů a použít je v programu Cretin.

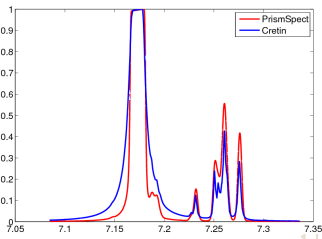
Postup

- 1 Přeepsat relevantní atomové hladiny a síly přechodů mezi nimi.
→ LTE simulace.
- 2 Zahrnout pouze srážkovou excitaci a ionizaci. → primitivní CR simulace.
- 3 Postupně přidávat další relevantní procesy.

V každé fázi srovnat výsledná spektra a populace hladin mezi oběma kódy na jednoduché simulaci ($220 \text{ eV}, 5 \times 10^{20} \frac{\text{ions}}{\text{cm}^3}$) – ověření správnosti budovaného modelu.

1 LTE simulace

- Předpoklad lokální termodynamické rovnováhy, populace hladin jsou dány pomocí Sahovy rovnice.
- Platí v situacích, kdy srážkové procesy dominují nad radiačními.
- Stačí znát energie relevantních hladin, jejich statistické váhy a síly přechodů mezi nimi (oscillator strengths)



2 Collisional-radiative model

- Řeší vzájemně provázané sady rovnic pro populace ionizačních a excitačních stavů a radiačního transportu.
- Populační rovnice (rate equations):[3]

$$\frac{dn_i}{dt} = -n_i \sum_{j,j \neq i} W_{ij} + \sum_{j,j \neq i} n_j W_{ji} \quad (1)$$

- n_i - hustota iontů v i -tém stavu,
- W_{ij} je koeficient přechodu mezi stavy i a j .
 - ▶ Zahrunje (de)populační a (de)excitační procesy.
 - ▶ Závisí na teplotě, hustotě a na intenzitě záření v daném místě pro danou energii přechodu.
 - ▶ Spontání/stimulovaná emise, srážková excitace, fotoionizace, záchyt elektronu, ...

2 Collisional-radiative model

- Zahrneme-li do koeficientů W_{ij} pouze srážkovou (de)excitaci a (de)ionizaci, dostaneme tím stejné výsledky jako v LTE simulaci.[4]
- Koeficient pro srážkovou excitaci (zjednodušený) [5][6]:

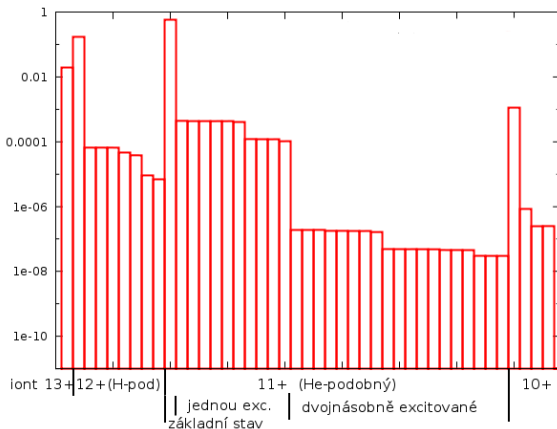
$$\varepsilon = \text{konst.} \frac{f}{\sqrt{T_e} \Delta E} \exp\left(-\frac{\Delta E}{T_e}\right), \quad (2)$$

kde

- ΔE je rozdíl energií mezi hladinami přechodu
- T_e je elektronová teplota
- f je síla oscilátoru (oscillator strength, “překryv vlnových funkcí”)

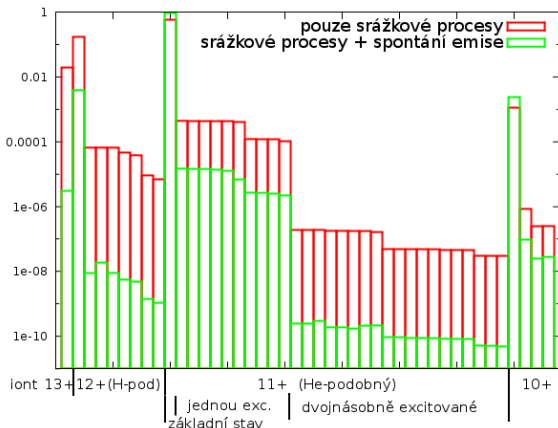
2 pouplace hladin

Obsazení hladin zahrnutých v modelu při LTE simulaci či CR s pouze srážkovými procesy.



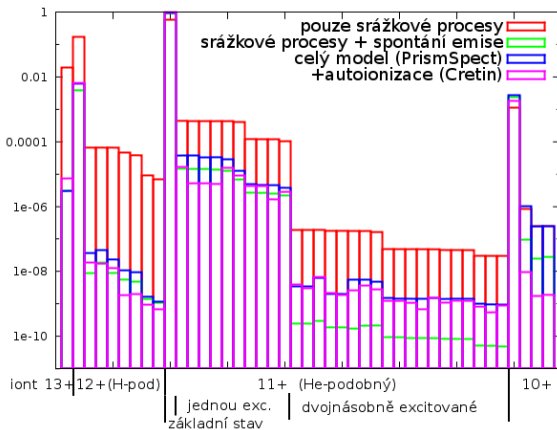
3 Přidání spontánní emise

Přidáme-li do modelu foto(de)excitace (čárové záření), hladiny excitovaných stavů se významně sníží.

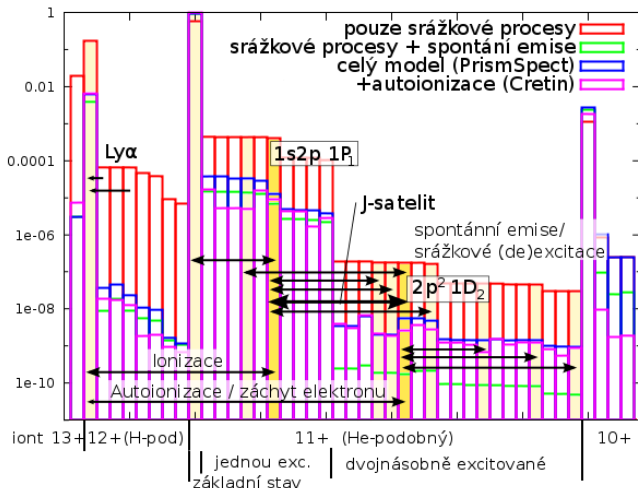


4 Plný collisional-radiative model

Dále přidáme autoionizaci/záchyt elektronu do dvojnásobně excitovaných stavů.



Přechody ovlivňující J – satelit



Problémy

Aneb proč to ještě nefunguje?

- Zatím nenalezena dostatečně vhodná literatura.
- Jednotky. (SI, CGS, J, eV, statcoulomb)
- Neúplná dokumentace Cretinu. (chybějící informace lze vyčíst ze zdrojového kódu)
- Komplikovaný systém (→ chyby)

```

ms-hal@milinduk:~/lps/cretinA$
c 25
elev 2 26 2p3d-3P 5 3596,9 2
elev 2 27 2p3d-1F 7 3600 2
elev 2 28 2p4p-1F 3 3695,4 2
elev 2 29 2p4s-3P3 5 3698,8 2

elev 2 30 2p4d-1D 5 3693,4 2
elev 2 31 1s2p-1P 3 1598,3 1

emot 3 li-like 492,553
c *****

elev 3 1 1s(2)2s-2S 2 0
c elev 3 2 1s(2)3s-2S 2 250,51
elev 3 3 1s2s2p-2P2 4 1580
c elev 3 4 1s2p3s-2P3 4 1845,7
elev 3 5 1s2p3p-2P4 6 1811,3
elev 3 6 1s2p3s-2P4 2 1834
c elev 3 7 1s2p(2)1s-av 15 1589
elev 3 8 1s2p3s-av 15 1839
elev 3 9 1s2p3p-av 15 1925
c elev 3 10 1s3d4p-av 15 2199
end data

data phvs
c ***** D H X S

c 1e Hydrogen-like *****
c Lyman series
c alpha 3/2
d 1 1 1 2 0.138
c alpha 1/2
d 1 1 1 1 4.277
d 1 1 1 1 5.0787
d 1 1 1 1 7.0288
d 1 1 1 1 8.0138

c Balmer series
d 1 1 3 1 5 0.432
d 1 2 1 1 6 0.697
c Balmer beta and gamma faded from triplet:
c d 1 3 1 7 0.34
c d 1 3 1 8 0.12

c 2e Helium-like *****
d 2 1 2 31 0.788

c dielectronic satellites
lower upper Strength
d 2 2 3 2 15 0.258
d 2 2 2 2 13 0.221
d 2 2 6 2 18 0.307
d 2 2 2 2 18 0.00012
    
```

Zhodnocení uplynulého semestru

- Účast na experimentech (3 týdny v srpnu).
- Zprovoznění a nastudování kódu Cretin.
- Tvorba atomového modelu vhodného pro naše účely.
- Drobné práce na vyhodnocování dat z experimentů.

Plány do budoucna

- Dodělání atomového modelu (doufejme) do konce ledna.
- Simulace spekter plazmatu s velkými gradienty, na základě hydrodynamických simulací doc.Lisky.

Použitá literatura



O. Renner et al.

High-luminosity, high-resolution, x-ray spectroscopy of laser-produced plasma by vertical-geometry johann spectrometer.

Rev. Sci. Instrum., 68 (6):2393, June 1999.



H.A.Scott.

Cretin—a radiative transfer capability for laboratory plasmas.

Journal of Quantitative Spectroscopy & Radiative Transfer, 71:689, 2001.



H.K.Chung et al.

The how to for flychk.

<http://nlte.nist.gov/FLY/>, 2008.



F.B.Rosmej.

X-ray emission spectroscopy and diagnostics of non-equilibrium fusion and laser produced plasma. 2009.



D. Salzmann.

Atomic Physics in Hot Plasmas.

Oxford University Press, 1998.



H.R. Griem.

Principles of Plasma Spectroscopy.

Cambridge University Press, 1997.

Konec

- Děkuji za pozornost.